

名古屋大学 正会員 松尾 稔  
名古屋大学 正会員 川村 国夫

1. えりかさ； 本報は粘性地盤の非排水等動力に注目し、変形に影響を及ぼすと考えられる種々のパラメータについて検討したものである。すなまち、粘性地盤に急速な盛土載荷が行われたときの粘性地盤の変形等動力は地盤の深さ、盛土重量、盛土形状などの幾何学的条件と、地盤せん断強度、接線弾性係数、初期応力状態など土質条件に大きく依存してくるであろう。したがって、これらパラメータがいかに変形量に影響するかを、とくに盛土中央直下の沈下量、および引張り付近の側方変位量について定性的に検討を始めた。

2. 計算方法； 解析はさきにDuncan and Changらによった提案された非弹性型弾性解析による有限要素法(以下F.E.M.)で実施された。解析方法は文献に詳述され、また、他の多くの研究者がこの方法によること各種問題を解析しておられたが省略する。今回の解析の中では通用される接線弾性係数Eiのみ関係が非弾性を除いて各点カレルヒヒに求められており、各点カレルヒヒアソーン比Koはダイラタンシーを無視した排水等動力としたため、1.3倍を0.5の値とした。なお、計算方法の都合上の495の値で計算は実施された。また、適用された変形の境界条件はFig.

1に示すところ。一方、F.E.M.解析で使用された初期応力接線弾性係数Ei、および非排水せん断強度Cuが初期垂直荷重有効応力Pによって依存すること一般に知られており、したがって、垂直荷重応力Pが深さdによって変化すれば、当然Ei、Cuも変化することになる。今回の解析で用いた地盤の剛性Eiは、 $Cu = Ei \cdot d$ が一定値をとるとしてとした。また、浮遊水の存在しない均一地盤はCa、Ei

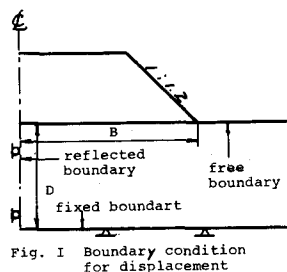


Fig. 1 Boundary condition for displacement

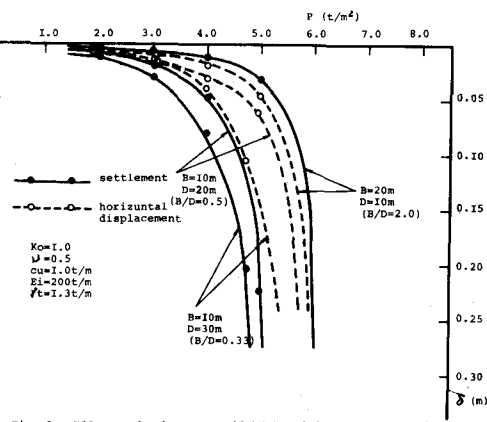


Fig. 2 Effects of embankment width (B) and depth of foundation (D)

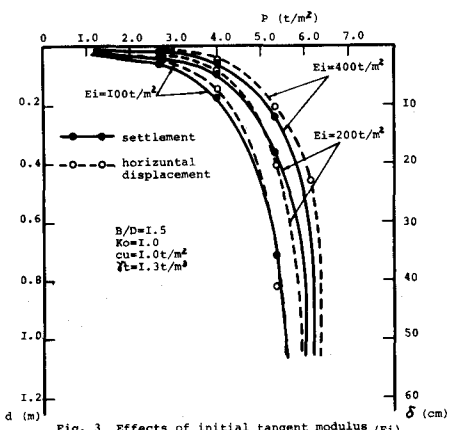


Fig. 3 Effects of initial tangent modulus (Ei)

が一定値をとるものである。本報告はとくに軟弱粘土の地盤を想定しており、Ei、EgはLadd & D'Appoloniaの研究成果を参考にして値を決定した。また、地盤の単位体積重量は人手として、破壊後のEiは前段階の計算を適用してEgを1/1000として計算された。

3. 計算結果； 地盤の等動力破壊荷重を予測するには、もうひとつのパラメータが計算上大きくなることを正確に把握しなければならない。Fig. 2, 3, 4

したがって地盤や地盤の幾何学的条件の相違や、地盤の土質条件の相違による荷重( $P$ )と盛土中央直下の沈下量( $\delta$ )の関係は、式より、 $P$ と盛土の「屈筋附近側方変位量( $\delta'$ )」の関係から、以下影響を示すものである。すなはち、Fig. 4は $Cu=$ 一定の均質等方性地盤上に盛土施工する際、盛土高さ( $B$ )と地盤深さ( $D$ )の変化が及ぼす変形の影響を示したものである。なお、地盤は $Cu=1.0$ 、 $E_i=200$ 、 $K_0=1.0$ とする。Fig. 4より、地盤の変形、および極限支障力 $f_u$ は $B$ 、 $D$ の比 $B/D$ によって影響を受けることが明らかである。すなはち、 $B/D$ が大きくなるにつれて、ある荷重レベルで $\delta$ 、 $\delta'$ は大きくなるが、逆に極限支障力 $f_u$ は大きくなる傾向となる。一般に、地盤の深さに比して盛土高さが大きくなれば、地盤内部挙動力が横方向に拘束され、横方向の压缩抵抗力が増加して横方向と垂直方向の抗力比が1.0に近くようになる。したがって、盛土中央部下付近での主抗力差が小さくなるため、局部地盤強度が、 $B/D=1.0$ の地盤比較して相対的に小さくなると考えられる。そのため、 $P-\delta$ 、 $P-\delta'$ の初期に見受けられる非塑性性状態と塑性性状態に変化する降伏点 $f_u$ と $\delta'$ の増加に対する大きさをとることになる。さて、Fig. 4～5は盛土と地盤の幾何学的条件 $B/D$ を一定として、地盤の土質諸条件が変化した場合の荷重-変形曲線を描いたものである。また、

Fig. 4の初期剛性係数 $E_i$ の変化によるものである。 $E_i$ が400、200、100とある場合の荷重-変形曲線は、同一同一極限支障力をもつ。また、ある荷重での沈下量 $\delta$ 、側方変位量 $\delta'$ の剛性マトリックス中の接線弾性係数 $E_i$ に比例してなるが、この $E_i$ は $E_i$ の関数であることから、 $E_i$ が大きい程 $\delta$ 、 $\delta'$ が当然大きくなる。Fig. 4は均質地盤の排水せん断強度 $Cu$ の変化による荷重-変形曲線の差を示したものである。Fig. 4より $f_u$ と $Cu$ 間に次のようないくつかの関係が成立することは興味深い。すなはち、 $f_u = (5 \sim 6)Cu$ であるが、これはPendleburyによって解説された完全塑性体の破壊荷重比と一致である。ただし、両者は地盤の変形によってこの境界条件が異なる。すなはち、局部分布領域内分布によって相違が見られる。また、破壊荷重とある荷重の比で安全率 $F.S$ を定義すれば、 $Cu$ の1/2より地盤大きな地盤に比して、同一 $F.S$ に対する荷重が大きくなる傾向を示す。したがって、 $\delta$ や $\delta'$ を予測するときに、 $Cu$ を実際の地盤より過大評価すれば、逆に $\delta$ を過小評価する危険が生じるため、 $Cu$ の推定は慎重に行なうべきではない。Fig. 5は $Cu$ 、 $E_i$ が深さに比例して増加する地盤について、初期剛性係数の変化による荷重-変形曲線の変化である。初期剛性係数の異方性を $K_0=1.0$ とし、 $K_0=1.0$ の場合は $\delta$ 、 $\delta'$ ともに地盤が規定された。すなはち、 $\delta$ は極限支障力 $f_u$ 降伏点、変位量とも初期剛性条件により大きく依存していることが明らかである。すなはち、同一荷重が載荷された場合、初期せん断強度の大きさは地盤に比して、小さい荷重レベルでは減少し、しかし局部地盤強度が多く存在するため極限支障力は小さくなる。したがって、 $\delta$ 、 $\delta'$ はともに大きな値となる。以上、Fig. 4～5の土質条件の変化による変形の傾向は $d$ 、 $\delta$ と同じであった。前掲のあらわした荷重-変形曲線より破壊直前の $\delta$ 、 $\delta'$ の関係を示したものである。Fig. 6である。Fig. 6の $d$ 、 $\delta$ は直線は荷重-変形曲線の初期にみられる非塑性部分を延長した直線と破壊時にみられる変形の直線部分とを延長して交わった点のものである。Fig. 6は排水せん断強度だけであるが、 $d$ ～ $\delta$ の関係は左上り、右下りの傾向が見受けられた。これが破壊直前にみられる荷重パラメータによって変化したものである。 $\delta$ の変化は $d$ よりも大きくなることを示すものである。

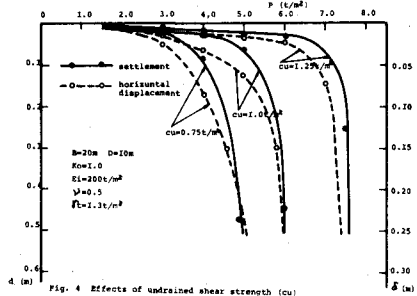


Fig. 4 Effects of undrained shear strength ( $cu$ )

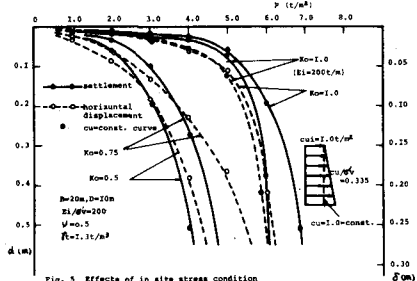


Fig. 5 Effects of in site stress condition

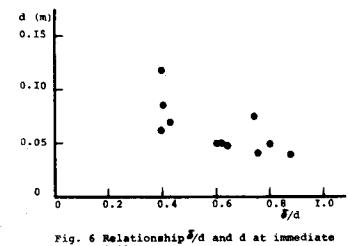


Fig. 6 Relationship  $\delta/d$  and  $d$  at immediate before failure